

К РАСЧЕТУ ДИНАМИЧЕСКИХ МОДУЛЕЙ ТВЕРДЫХ ТЕЛ ПОД ДАВЛЕНИЕМ

Ю. Я. Богуславский, Ф. Ф. Воронов, С. В. Григорьев

(Москва)

На основе теории конечных деформаций получены в общем виде выражения для эффективных адиабатических упругих постоянных второго порядка кристаллов любой симметрии, выраженные через изотермические упругие постоянные второго, третьего и более высоких порядков, входящие в разложение свободной энергии. Эти выражения применены в случае кристаллов кубической симметрии в условиях гидростатики для нахождения скоростей упругих волн в монокристаллах и поликристаллах и их зависимости от давления.

Поликристалл рассматривался как изотропное тело, состоящее из большого числа кубических монокристаллов. Изотропные упругие постоянные вычислялись из теоретических и экспериментальных данных для монокристаллов в приближении Фохта — Ройсса — Хилла. Предложен метод применения этого приближения к термодинамическим эффективным упругим постоянным второго порядка. Результаты расчета сравниваются с данными экспериментов по измерению скоростей звука в поликристаллических образцах NaCl и CsCl при давлениях до 100 кбар. Проведено обсуждение результатов этого сравнения.

Исследования динамическими методами упругих свойств твердых тел, подвергнутых конечным деформациям, приводят к определению «эффективных» адиабатических упругих постоянных деформированного монокристалла или поликристалла. В то же время из теоретических расчетов известны изотермические упругие постоянные второго (ВПУ постоянные), третьего (ТПУ постоянные) и высших порядков, определенные для исходного «естественного» состояния монокристалла.

Найдем в общем виде связь между эффективными адиабатическими ВПУ постоянными твердого тела и изотермическими упругими постоянными монокристалла.

Будем различать три разных состояния:

- 1) исходное естественное состояние, характеризуемое координатами a_i и плотностью ρ_0 , в котором напряжения отсутствуют;
- 2) «начальное» деформированное равновесие состояние, характеризуемое координатами X_i и плотностью ρ^* ;
- 3) состояние «в данный момент», характеризуемое координатами x_i и плотностью ρ .

Компоненты вектора смещения из начального состояния в состояние в данный момент определяются выражениями

$$u_i = x_i - X_i$$

Связь между механическими и термодинамическими напряжениями согласно Мэрнагану [1], имеет вид

$$T_{ij} = \frac{1}{J} \frac{\partial x_i}{\partial a_k} \frac{\partial x_j}{\partial a_m} t_{km} \quad (1)$$

Здесь t_{km} — термодинамические напряжения, определяемые выражениями

$$t_{km} = \rho_0 \frac{\partial U(\eta_{km}, S)}{\partial \eta_{km}}, \quad \dot{t}_{km} = \rho_0 \frac{\partial A(\eta_{km}, T)}{\partial \eta_{km}}, \quad \rho = \frac{\rho_0}{J}$$

где $U(\eta, S)$ и $A(\eta, T)$ — внутренняя энергия и свободная энергия Гельмгольца соответственно, η — деформация в переменных Лагранжа, S — энтропия, T — температура, J — якобиан перехода от переменных x_1, x_2, x_3 к переменным a_1, a_2, a_3 . Опуская члены второго и более высоких порядков по градиентам смещения u_i [2], запишем выражение для термодинамических напряжений в виде разложения их в ряд вблизи начального состояния

$$t_{km} = t_{km}^* + c_{kmpr}^* (\eta_{pr} - \eta_{pr}^*) + \dots = t_{km}^* + c_{kmpr}^{*S} \frac{\partial X_j}{\partial a_p} \frac{\partial X_h}{\partial a_n} e_{fh} \quad (2)$$

$$e_{fh} = \frac{1}{2} \left(\frac{\partial u_f}{\partial X_h} + \frac{\partial u_h}{\partial X_f} \right)$$

Для механического напряжения согласно (1) и (2) получаем

$$T_{ij} = \frac{1}{J} \frac{\partial X_i}{\partial a_k} \frac{\partial X_j}{\partial a_m} t_{km} = T_{ij}^* \left(1 - \frac{\partial u_l}{\partial X_l} \right) +$$

$$+ T_{il}^* \frac{\partial u_j}{\partial X_l} + T_{jl}^* \frac{\partial u_i}{\partial X_l} + C_{ijfh}^{*S} e_{fh}$$

где

$$T_{ij}^* = \frac{1}{J^*} \frac{\partial X_i}{\partial a_k} \frac{\partial X_j}{\partial a_m} t_{km}^* \quad (4)$$

$$C_{ijfh}^{*S} = \frac{1}{J^*} \frac{\partial X_i}{\partial a_m} \frac{\partial X_j}{\partial a_p} \frac{\partial X_f}{\partial a_q} \frac{\partial X_h}{\partial a_l} c_{mpql}^{*S} \quad (5)$$

Звездочкой отмечены величины в начальном состоянии.

Из выражения (3) получаем связь между напряжениями и деформациями для случая малых адиабатических деформаций в начальных координатах

$$T_{ij}' = \left(\frac{\partial T_{ij}}{\partial e_{fh}} \right)_{S, e=0} e_{fh} = C_{ijfh}^{*S} e_{fh} \quad (6)$$

где

$$C_{ijfh}^{*S} = -T_{ij}^* \delta_{ih} + T_{if}^* \delta_{hj} + T_{jj}^* \delta_{ih} + C_{ijfh}^{*S} \quad (7)$$

В дальнейшем будем рассматривать только случай однородной начальной деформации, при которой величины C_{ijfh}^{*S} являются постоянными. Тогда, используя выражение (6), получим волновое уравнение

$$\rho^* \frac{\partial^2 u_i}{\partial \tau^2} = B_{ijfh}^{*S} \frac{\partial^2 u_j}{\partial X_j \partial X_h} \quad (8)$$

$$B_{ijfh}^{*S} = \delta_{if} T_{jh}^* + \frac{1}{J^*} \frac{\partial X_i}{\partial a_m} \frac{\partial X_j}{\partial a_p} \frac{\partial X_f}{\partial a_q} \frac{\partial X_h}{\partial a_l} c_{mpql}^{*S}$$

где τ — время.

Разлагая упругие постоянные c_{mpql}^{*S} , входящие в выражения (7) и (8), в ряд вблизи естественного состояния, получим

$$c_{mpql}^{*S} = c_{mpql}^S + \left(\frac{\partial c_{mpql}^{*S}}{\partial \eta_{ns}} \right)_T \eta_{ns} + \dots$$

где $(\partial c_{mpql}^* S / \partial \eta_{ns})_T$, по определению Браггера [3], — смешанные ТПУ постоянные. Определим эффективные изотермические ВПУ постоянные, для которых получаются следующие выражения:

$$C_{ijfh}^{*T} = -T_{ij} \delta_{fh} + T_{if} \delta_{hj} + T_{jf} \delta_{ih} + \frac{1}{J^*} \frac{\partial X_i}{\partial a_m} \frac{\partial X_j}{\partial a_p} \frac{\partial X_f}{\partial a_q} \frac{\partial X_h}{\partial a_l} (c_{mpql}^T + C_{mpqlns}^T \eta_{ns}) \quad (9)$$

Для вычисления динамических упругих моделей твердого тела необходимо связать эффективные изотермические ВПУ постоянные с эффективными адиабатическими упругими постоянными того же порядка, которые определяются выражениями (7).

Так как тензор механического напряжения можно представить функцией вида

$$T_{ij} = T_{ij} \{ \eta, e, T(\eta, e, S) \}$$

где η — конечная деформация и e — бесконечно малая деформация, создаваемая звуковой волной, то эффективная адиабатическая ВПУ постоянная есть

$$\begin{aligned} C_{ijfh}^{*S} &= \left(\frac{\partial T_{ij}}{\partial e_{fh}} \right)_{S, e=0} = \left(\frac{\partial T_{ij}}{\partial e_{fh}} \right)_{T, e=0} + \left(\frac{\partial T_{ij}}{\partial \eta_{km}} \right)_{\eta, e=0} \left(\frac{\partial \eta_{km}}{\partial T} \right)_{\eta, e=0} \left(\frac{\partial T}{\partial e_{fh}} \right)_{S, e=0} = \\ &= C_{ijfh}^{*T} + \frac{1}{J^*} \frac{\partial X_i}{\partial a_k} \frac{\partial X_j}{\partial a_m} \frac{T \lambda_{km} \lambda_{fh}}{\rho_0 C_{\eta}^*} = C_{ijfn}^{*T} + \\ &+ \frac{1}{J^*} \frac{\partial X_i}{\partial a_k} \frac{\partial X_j}{\partial a_m} \frac{T \alpha_{p'ii}^* c_{kmpn}^T \alpha_{p'n'}^* c_{p'n'fh}^*}{\rho_0 C_{\eta}^*} \\ &\lambda_{ij} = \alpha_{vw}^* c_{vwij}^{*T} \end{aligned}$$

Разлагая λ_{ij} в ряд вблизи естественного состояния, получим

$$\lambda_{ij} = \lambda_{ij}(0) + \left(\frac{\partial \lambda_{ij}}{\partial \eta_{mn}} \right)_{T, \eta=0} \eta_{mn}$$

Здесь

$$\left(\frac{\partial \lambda_{ij}}{\partial \eta_{mn}} \right)_{T, \eta=0} = c_{ijvw}^T c_{zy mn}^T \left(\frac{\partial s_{vwzy}}{\partial T} \right)_t + \alpha_{vw} c_{ijvw mn}^T$$

Производя аналогичное разложение, имеем

$$C_{\eta}^* (\eta_{mn}) = C_{\eta} (0) + \frac{T}{\rho_0} \left(\frac{\partial \lambda_{ij}}{\partial T} \right)_{\eta=0} \eta_{ij}$$

где s_{vwzy} — изотермические упругие податливости второго порядка, $\alpha_{vw} = (\partial \eta_{vw} / \partial T)_t$ — линейные коэффициенты теплового расширения, C_{η} — теплоемкости при постоянном объеме.

Таким образом

$$\begin{aligned} C_{ijfh}^{*S} &= -T_{ij} \delta_{fh} + T_{if} \delta_{hj} + T_{jf} \delta_{ih} + \\ &+ \frac{1}{J^*} \frac{\partial X_i}{\partial a_m} \frac{\partial X_j}{\partial a_p} \frac{\partial X_f}{\partial a_q} \frac{\partial X_h}{\partial a_l} (c_{mpql}^T + C_{mpqlns}^T \eta_{ns}) + \\ &+ \frac{1}{J^*} \frac{\partial X_i}{\partial a_k} \frac{\partial X_j}{\partial a_m} \frac{T \alpha_{pn}^* c_{kmpn}^T \alpha_{p'n'}^* c_{p'n'fh}^*}{\rho_0 C_{\eta}^*} \end{aligned} \quad (10)$$

Это выражение связывает эффективные адиабатические ВПУ постоянные с изотермическими ВПУ и ТПУ постоянными твердого тела в исходном состоянии и справедливо для произвольного вида конечных деформаций и кристаллов всех классов симметрии.

Для случая всестороннего сжатия — высокого гидростатического давления — это выражение упростится.

В этом случае

$$T_{ij} = -\delta_{ij}P, \quad \eta_{ij} = \eta\delta_{ij}, \quad \frac{\partial X_i}{\partial a_m} = (1 + 2\eta)^{1/2} \delta_{im} \quad (11)$$

Используя (5), (7), (11), имеем для эффективной ВПУ постоянной

$$C_{ijfh}^{*S} = P(\delta_{ij}\delta_{fh} - \delta_{if}\delta_{hj} - \delta_{jf}\delta_{ih}) + (1 + 2\eta)^{1/2} c_{ijfh}^{*S} \quad (12)$$

$$c_{ijfh}^{*S} = c_{ijfh}^S + \left(\frac{\partial c_{ijfh}^{*S}}{\partial \eta_{vw}} \right)_T \eta_{vw} + \dots = c_{ijfh}^S + \Gamma_{ijfhnn}\eta + \dots$$

где Γ_{ijfhnn} — комбинации смешанных ТПУ постоянных

$$P = -\eta(1 + 2\eta)^{-1/2} \left(\frac{1}{2} c_{iipp}^T + \eta \frac{C_{iippnn}^T}{\xi} \right) \quad (13)$$

и окончательно

$$C_{ijfh}^{*S} = P(\delta_{ij}\delta_{fh} - \delta_{if}\delta_{hj} - \delta_{jf}\delta_{ih}) + (1 + 2\eta)^{1/2} (c_{ijfh}^T + \eta C_{ijfhnn}^T) + \quad (14)$$

$$+ \frac{T\lambda_{ij}\lambda_{fh}}{\rho_0(1 + 2\eta)^{1/2} C_\eta^*}$$

что справедливо для кристаллов любой симметрии.

Естественно, что полученные выражения (10) и (14) могут быть использованы для расчета эффективных упругих постоянных поликристаллов при любых деформациях, исходя из изотермических ВПУ и ТПУ постоянных поликристалла в исходном состоянии.

Однако для получения эффективных упругих постоянных поликристаллов, используя результаты теоретических расчетов [4-8] для монокристаллов, необходимо провести раздельное усреднение изотермических ВПУ и ТПУ постоянных.

Для этой цели можно воспользоваться усреднением по Фохту — Ройссу — Хиллу (ФРХ — приближение) [9]. Так, для ВПУ и ТПУ постоянных можно записать

$$C_{ijkl}^X = 1/2 (C_{ijkl}^\Phi + C_{ijkl}^P)$$

$$C_{ijklmn}^X = 1/2 (C_{ijklmn}^\Phi + C_{ijklmn}^P)$$

где C_{ijkl}^X и C_{ijklmn}^X — усредненные по ФРХ изотермические ВПУ и ТПУ постоянные для поликристалла, а C_{ijkl}^Φ , C_{ijklmn}^Φ и C_{ijkl}^P , C_{ijklmn}^P — средние по Фохту [10] и Ройссу [11] соответственно.

В случае усреднения по Ройссу справедливы следующие выражения [12]:

$$C_{ijkl}^P S_{klmn}^P = 1/2 (\delta_{im}\delta_{jn} + \delta_{in}\delta_{jm}) \quad (15)$$

$$C_{ijklmn}^P = -C_{ijpq}^P C_{klrs}^P C_{mnuv}^P S_{pqrsuv}^P$$

где S_{klmn}^P , S_{pqrsuv}^P — соответственно модули податливостей второго и третьего порядков. Предыдущие выражения справедливы также и для монокристаллов.

Так, в случае всестороннего сжатия поликристаллов, состоящих из монокристаллов кубической симметрии, для поликристаллических образцов адиабатические эффективные ВПУ постоянные, полученные из данных по скоростям звука под высоким давлением будут равны

$$\langle C'_{11}{}^S \rangle = \langle B_{11}^S \rangle = \frac{v_l^2 \rho_0}{(1+2\eta)^{3/2}} = K^S + \frac{4}{3} G = \langle c_{11}{}^T \rangle + \eta (2 \langle c_{11}{}^T \rangle + 2 \langle c_{12}{}^T \rangle + \langle C_{111}{}^T \rangle + 2 \langle C_{112}{}^T \rangle) + \frac{T \langle \lambda_{11} \rangle^2}{\rho_0 (1+2\eta)^{1/2} C_{\eta}^*} \quad (16)$$

$$\langle C'_{44}{}^S \rangle = \langle B_{44} \rangle = \frac{v_t^2 \rho_0}{(1+2\eta)^{3/2}} = G = \langle c_{44}{}^T \rangle + \eta (\langle c_{11}{}^T \rangle + 2 \langle c_{12}{}^T \rangle + \langle c_{44}{}^T \rangle + \langle C_{144}{}^T \rangle + 2 \langle C_{166}{}^T \rangle)$$

где K , G — модули объемной упругости и сдвига, v_l и v_t — скорости продольного и поперечного звука. Знак $\langle \rangle$ показывает, что величины усреднены и относятся к поликристаллам.

Для давления согласно (10) имеем

$$P = -\eta (1+2\eta)^{-1/2} [\langle c_{11}{}^T \rangle + 2 \langle c_{12}{}^T \rangle + \eta (1/2 \langle C_{111}{}^T \rangle + 3 \langle C_{112}{}^T \rangle + \langle C_{123}{}^T \rangle)] \quad (17)$$

$$\eta = -P (\langle c_{11}{}^T \rangle + 2 \langle c_{12}{}^T \rangle)^{-1} + P^2 [\langle c_{11}{}^T \rangle + 2 \langle c_{12}{}^T \rangle - (1/2 \langle C_{111}{}^T \rangle + 3 \langle C_{112}{}^T \rangle + \langle C_{123}{}^T \rangle)] (\langle c_{11}{}^T \rangle + 2 \langle c_{12}{}^T \rangle)^{-3} \quad (18)$$

Покажем, что к тем же результатам усреднения можно прийти другим путем, который в случае кристаллов кубической симметрии существенно короче. Этот путь заключается в непосредственном усреднении эффективных термодинамических ВПУ постоянных для монокристалла по схеме ФРХ-приближения.

Из выражения типа (2) имеем

$$\frac{\partial t_{km}}{\partial \beta_{pq}} \frac{\partial \beta_{pq}}{\partial t_{km}} = c_{kmpq}^* s_{pqk'm'} = \delta_{kk'} \delta_{mm'} \\ \beta_{pq} = \frac{\partial X_s}{\partial a_p} \frac{\partial X_t}{\partial a_q} e_{st} \\ c_{fhkm}^* = c_{fhk'm'}^* c_{kmpq}^* s_{k'm'pq}^* \quad (19)$$

Разлагая это выражение в ряд вблизи естественного состояния, получим

$$c_{fhkm} = c_{fhk'm'} c_{kmpq} s_{k'm'pq} \\ C_{fhkmvw} = -c_{fhk'm'} c_{kmpq} c_{vwst} s_{k'm'pqst}$$

что аналогично выражениям (15). В случае поликристаллов получим аналогично предыдущему

$$\langle c_{fhkm}^* \rangle = \langle c_{fhk'm'}^* \rangle \langle c_{kmpq}^* \rangle \langle s_{k'm'pq}^* \rangle$$

Усреднение по схеме ФРХ-приближения дает

$$\langle c_{fhkm}^* \rangle = 1/2 (c_{fhkm}^{*\Phi} + c_{fhk'm'}^{*P} c_{kmpq}^{*P} s_{k'm'pq}^{*P})$$

Разлагая $\langle c_{fhkm}^* \rangle$ вблизи естественного состояния, имеем

$$\langle c_{fhkm} \rangle = \langle c_{fhk'm'} \rangle \langle c_{kmpq} \rangle \langle s_{k'm'pq} \rangle \\ \langle C_{fhkmvw} \rangle = -\langle c_{fhk'm'} \rangle \langle c_{kmpq} \rangle \langle c_{vwst} \rangle \langle s_{k'm'pqst} \rangle$$

Рассматривая поликристаллические $\langle c_{fhkm} \rangle$, $\langle C_{fhkmvw} \rangle$ как средние в ФРХ-приближении приходим к выражениям

$$\begin{aligned} \langle c_{fhkm} \rangle &= 1/2 (c_{fhkm}^{\Phi} + c_{fhkm}^P) \\ \langle C_{fhkmvw} \rangle &= 1/2 (c_{fhkmvw}^{\Phi} - c_{fhk'm}^P c_{kmpq}^P c_{vwst}^P S_{k'm'qst}^P) \end{aligned} \quad (20)$$

что аналогично выражениям (15). Следовательно, при вычислении динамических модулей поликристалла из упругих постоянных монокристалла усреднение по схеме ФРХ-приближения ВПУ, ТПУ постоянных ($\langle c_{fhkm} \rangle$, $\langle C_{fhkmvw} \rangle$) эквивалентно усреднению эффективных термодинамических ВПУ постоянных $\langle c_{fhkm}^* \rangle$.

Однако в общем случае для вычисления $\langle c_{fhkm}^* \rangle$ необходимо знать связь $\eta_{ij} = \eta_{ij}(T_{ij})$, т. е. необходимо усреднение ВПУ, ТПУ и т. д. постоянных. Согласно выражению (13) для кубических монокристаллов в условиях гидростатического сжатия связь $\eta_{ij} = \eta_{ij}(T_{ij})$ имеет вид

$$\eta = -P (c_{12}^T + 2c_{12}^T)^{-1} + P^2 \frac{[c_{11}^T + 2c_{12}^T - (1/2 C_{111}^T + 3C_{112}^T + C_{123}^T)]}{(c_{11}^T + 2c_{12}^T)^3}$$

Известно [13], что в этом случае комбинации упругих постоянных монокристалла $c_{11}^T + 2c_{12}^T$, $1/2 C_{111}^T + 3C_{112}^T + C_{123}^T$ совпадают с их средними в ФРХ — приближении в выражении (18). Это позволяет проводить усреднение упругих постоянных только второго порядка $\langle c_{fhkm}^* \rangle$, что приводит к резкому сокращению вычислений и дает возможность по известным из эксперимента значениям эффективных термодинамических упругих постоянных C_{11}^{*s} , C_{44}^{*s} для кубического монокристалла в условиях гидростатического сжатия в направлении (001) и (110) определить поликристаллические динамические модули.

Используя полученные выражения, было проведено усреднение ВПУ и ТПУ постоянных, определенных экспериментально для монокристаллов CsCl [14] и NaCl [15] и из выражений (16), (18), были рассчитаны зависимости скоростей распространения продольных v_l и поперечных v_t упругих волн от давления в поликристаллах этих веществ.

Эти зависимости (кривые 2) представлены на фиг. 1 (для NaCl) и фиг. 2 (для CsCl) в сравнении с аналогичными зависимостями для поликристаллических образцов NaCl и CsCl, полученными авторами экспериментально ([15], кривая 1).

Расхождение этих зависимостей — экспериментальной для поликристаллов (кривая 1) и полученной усреднением из экспериментов на монокристаллах (кривая 2) — не превышает 3—4% как для NaCl, так и для CsCl, что соответствует существующей точности определения ТПУ постоянных и показывает, что, по-видимому, погрешность проведенного усреднения меньше указанного расхождения.

Кроме того, на этих же фигурах представлены зависимости от давления скоростей распространения продольных и поперечных волн для поликристаллов NaCl и CsCl, полученные усреднением теоретически рассчитанных ВПУ и ТПУ постоянных.

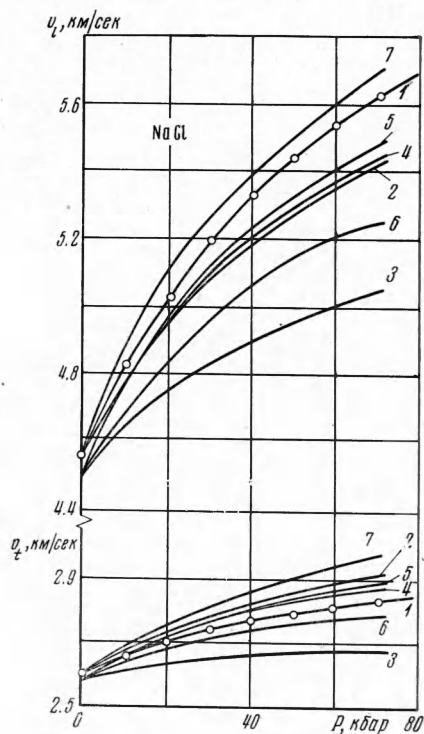
На фиг. 1 кривая 3 построена по данным из работы Нраньяна [4], 4 — Гейта [6], 5, 6 — Линкольна и др. [7], 7 — Пауля [9].

На фиг. 2 кривая 3 построена по данным из работы Нраньяна [4], 5 — Гейта [6]. Следует отметить, что в работе [7] температурная зависимость упругих постоянных вычислялась двумя способами. Это приводит к появлению двух наборов ТПУ постоянных (при $T = 298^\circ \text{K}$) и, соответственно, двух зависимостей $v(P)$ (кривые 5 и 6).

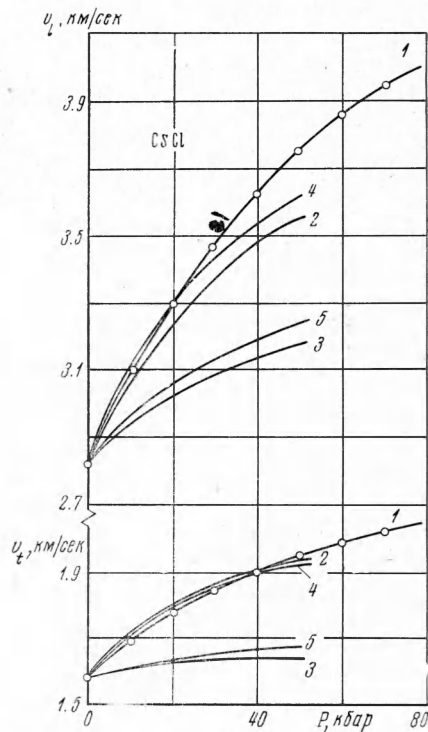
В использованных теоретических работах [4-8,17] вычисление ТПУ постоянных основывалось на модели центральных сил с потенциалом типа Борна — Майера, в котором отталкивание из-за перекрытия электронных оболочек ионов имеет вид

$$\varphi = B \exp(r/\epsilon)$$

где B и ϵ — параметры отталкивания (ϵ — коэффициент «жесткости»).



Фиг. 1



Фиг. 2

Основные характеристики потенциалов [4-8] приведены в таблице, где отмечен учет Ван-дер-Ваальсового притяжения, вторых соседей и трехчастичного взаимодействия. В последних графах таблицы приведены оценки сходимости с экспериментом. При этом сходимость считается «хорошей», если рассчитанная теоретическая зависимость $v(P)$ лежит в области между кривыми 1 и 2 (фиг. 1, 2), полученными из эксперимента, «удовлетворительной», если отклонения от области кривых 1—2 не превышает возможные ошибки в экспериментах, и «плохой», если зависимость лежит вне указанной области за возможными пределами экспериментальных ошибок. Все расчеты для $v(P)$ проводились до давлений 50 кбар для CsCl и 70 кбар для NaCl, так как выше этих давлений для этих веществ требуется учет упругих постоянных четвертого и более высоких порядков [18].

Анализ результатов расчетов (фиг. 1, 2, таблица) показал существенное влияние характера учета короткодействующих сил в кристалле на ТПУ постоянные и соответственно на эффективные упругие постоянные и зависимость скоростей распространения упругих волн от давления.

Вещество	Автор	Номер кривой	ϵ_A	Силы притяжения Ван-дер-Ваальса	Силы отталкивания				Сходимость с экспериментом	
					первые соседи	вторые соседи		трехчастичное взаимодействие	$v_l(P)$	$v_t(P)$
						без учета знака зарядов ионов	с учетом знака зарядов ионов			
NaCl	Нраньян [4]	3	0.333	—	+	—	—	—	плохая	плохая
	Гейт [6]	4	0.288	—	+	+	—	—	хорошая	хорошая
	Линкольн и др. [7]	5	0.317	+	+	—	+	—	хорошая	хорошая
	Линкольн и др. [7]	6	0.317	+	+	—	+	—	плохая	удовл.
	Пауль [8]	7	0.322	+	+	—	—	+	удовл.	плохая
CsCl	Нраньян [5]	3	0.333	—	+	—	—	—	плохая	плохая
	Гейт [6]	4	0.256	—	+	+	—	—	хорошая	хорошая
	Гейт [6]	5	0.333	—	+	+	—	—	плохая	плохая

Примечание:

«+» — учтены
«—» — не учтены.

Лучшие результаты получены при учете вторых соседей и использовании параметра отталкивания и постоянной решетки, определенных при $T = 298^\circ \text{K}$ и $P = 0$.

Учет трехчастичного взаимодействия в потенциале решетки играет меньшую роль.

Поступила 16 VII 1971

ЛИТЕРАТУРА

- Murnaghan F. D. Finite deformations of an elastic. Solids N. Y., J. Wiley and Sons Inc., 1951.
- Thurston R. N. Wave propagation in fluids and normal solids. In: Phys. Acoustics, vol. 1, pt A, New York — London, Acad. Press, 1964, pp. 1—110. (Рус. перев: Распространение волн в жидкостях и твердых телах. В сб. «Физическая акустика», т. 1, ч. А, М., «Мир», 1966.)
- Brunner K. Thermodynamic definition of higher order elastic coefficients. Phys. Rev., 1964, vol. 133, No. 6A.
- Нраньян А. А., Упругие постоянные третьего порядка кристаллов типа NaCl. Физика твердого тела, 1963, т. 5, вып. 1.
- Нраньян А. А. Упругие постоянные третьего порядка кристаллов типа CsCl. Физика твердого тела, 1963, т. 5, вып. 7.
- Ghate P. B. Third-order elastic constants of alkali halide crystals. Phys. Rev., 1965, vol. 139, No. 5A.
- Lincoln R. C., Koliwad K. M., Ghate P. B. Elastic constants of some NaCl type alkali halides. Phys. Stat. Sol., 1966, vol. 18, No. 1, p. 265.
- Paul S. Effect of a short-range three-body interaction on the third order elastic constants of alkali halides. Ind. Pure Appl. Phys., 1970, vol. 8, No. 6, p. 307.
- Hill R. The elastic behaviour of a crystal-line aggregate. Proc. Phys. London, 1952, vol. 65A, No. 389, pt 5.
- Voigt W. Lehrbuch der Kristallphysik. Leipzig, Teubner, 1910.
- Reuss A. Berechnung der Fließgrenze von Mischkristallen auf Grund der Plastizitätsberechnung für Einkristalle. Z. Angew. Math. und Mech., 1929, Bd 9, H. 1.

12. B a r s c h G. R. Relation Between third-order elastic constants of single crystals and polycrystals. J. Appl. Phys., 1968, vol. 39, No. 8.
 13. C o u s i n s C. S. G. A note on the estimation of the third-order elastic constants of quasi-isotropic materials. J. Phys. C, Proc. Phys. Soc. Ser. 2, 1968, vol. 1, No. 4.
 14. C h a n g Z. P., B a r s c h G. R. Nonlinear pressure dependence of elastic constants and fourth-order elastic constants of cesium halides. Phys. Rev. Letters, 1967, vol. 19, No. 24, p. 1381.
 15. C h a n g Z. P. Third-order elastic constants of NaCl and KCl single crystals. Phys. Rev., 1965, vol. 140, No. 5A.
 16. В о р о н о в Ф. Ф., Г р и г о р ь е в С. Б. Скорости звука в хлористом цезии и хлористом натрии при давлениях до 100 кбар. Докл. АН СССР, 1970, т. 195, № 6.
 17. L e i b f r i e d C., H a h n H. Temperaturabhängigkeit der elastischer Konstanten von Alkalihalogenidkristallen. Z. Phys., 1958, Bd 150, Nr 4.
 18. Н р а н ь я н А. А. Упругие постоянные высших порядков кубических кристаллов. Кристаллография, 1967, т. 12, вып. 6.
-